

# تعیین پارامترهای سیتیک دزیمتر $\text{LiF}:\text{Mg;Ti}$ TLD-100 گاما به میزان ۱ و $5\text{Gy}$

## با استفاده از روش‌های نسبت گرمایی مختلف، افت همدما و صعود اولیه

Zahedifar<sup>۱</sup>, Mostafa<sup>۲</sup>, Sadeghi<sup>۱</sup>, Ehsan<sup>۱</sup>, Sadeghi<sup>۱</sup>, Bahareh<sup>۱</sup>, Harooni<sup>۱</sup>, Somayeh<sup>۱</sup>

دانشگاه کاشان، دانشکده فیزیک، گروه فیزیک هسته‌ای!

دانشگاه کاشان، پژوهشکده علوم و فناوری نانو، گروه نانو فیزیک

### چکیده

دزیمترهای ترمولومینسانس  $(\text{LiF}:\text{Mg;Ti}) \text{TLD-100}$  توسط چشمی گاما با دز ۱ گری و ۵ گری پرتودهی شدند. تعداد قله‌ها در منحنی درخشندگی ترمولومینسانس و پارامترهای سیتیک مربوط به هر قله تعیین شدند. پارامترهای سیتیک همچنین به روش‌های افت همدما، صعود اولیه و روش تندی‌های متعدد دمایی بدست آمدند. منحنی درخشندگی این بلورها شامل ۴ قله‌ی هم پوش در دماهای ۳۸۰، ۴۴۰، ۴۵۶، ۴۸۰ و همچنین دماهای ۴۳۷، ۴۵۷، ۴۸۴ کلوین برای دز  $5\text{Gy}$  می‌باشد.

## Determination of thermoluminescence kinetic parameter of TLD-100 ( $\text{LiF}:\text{Mg;Ti}$ ) for absorbed doses of 1 and $5\text{Gy}$ using variable heating rate, isothermal decay and initial rise methods

Zahedifar<sup>۱</sup>, Mostafa<sup>۲</sup>, Sadeghi<sup>۱</sup>, Ehsan<sup>۱</sup>, Sadeghi<sup>۱</sup>, Bahareh<sup>۱</sup>, Harooni<sup>۱</sup>, Somayeh<sup>۱</sup>

<sup>۱</sup>Department of physics, University of kashan, kashan

<sup>۲</sup>Institute of nano technology, Kashan university, kashan

### Abstract

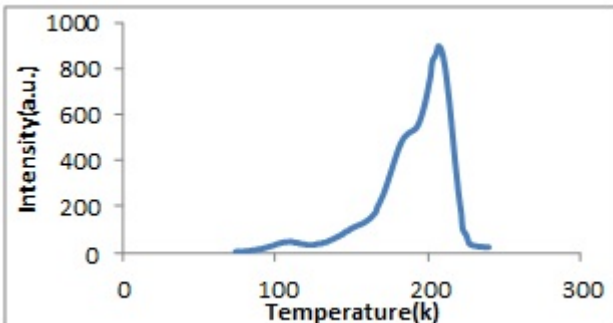
Thermoluminescence (TL) dosimeter of TLD-100 ( $\text{LiF}:\text{Mg;Ti}$ ) were irradiated to  $1\text{Gy}$  and  $5\text{Gy}$  gamma dose using  $^{60}\text{Co}$  gamma source. The number of TL glow peaks contained in complex TL glow curve and its kinetic parameters were obtained by utilizing isothermal decay, initial rise and variable heating rate methods. TL glow curve of TLD-100 shows four overlapping peak in temperatures 380, 440, 456 and 480 K for absorbed dose of  $1\text{Gy}$  and 381, 437, 457, 484 K for administered dose  $5\text{Gy}$ .

کلمات کلیدی: دزیمتر ترمولومینسانس، روش صعود اولیه، روش افت همدما، روش تندی‌های متعدد دمایی، پرتو گاما

معمولًا در بلورهای منظم که نقش میزان را بر عهده دارند و با ناخالصی‌ها و عیوب شبکه‌ای آلاییده می‌شوند مشاهده می‌شود [۲]. از جمله مهمترین کاربردهای مواد ترمولومینسانس استفاده از آن برای اهداف دزیمتری و عمرسنجی است. TLD-

### مقدمه

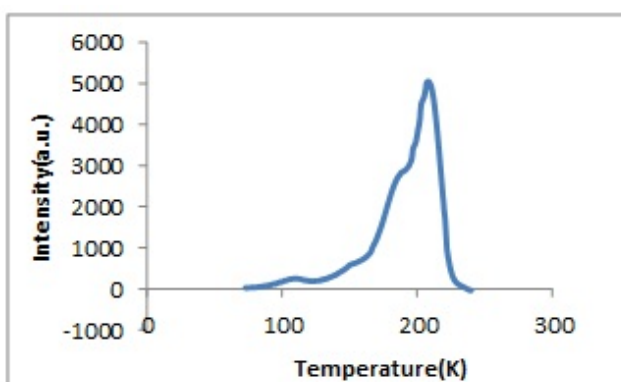
ترمولومینسانس فرآیندی است که در آن ماده توسط گرما تحریک شده و از حالت برانگیخته به حالت پایه آمده و انرژی خود را به صورت تابش فوتون آزاد می‌کند [۱]. خاصیت ترمولومینسانس



شکل (1-a): منحنی تابش TLD\_100 پس از پرتو دهی  $^{60}\text{Co}$  با دز 1 Gy.

همان طور که در نمودار (1-a) دیده می‌شود منحنی درخشندگی در دز 1 Gy شامل ۴ قله‌ی هم پوش در دماهای ۳۸۰، ۴۴۰، ۴۵۶، ۳۸۰ کلوین است.

هم چنین در دز ۵ Gy نیز (نمودار (1-b)) منحنی درخشندگی شامل ۴ قله‌ی هم پوش در دماهای ۳۸۱، ۴۳۷، ۴۵۷، ۴۸۴ کلوین است.



شکل (1-b): منحنی تابش TLD\_100 پس از پرتو دهی  $^{60}\text{Co}$  با دز 5 Gy.

شدت ترمولومینسانس مطابق با رابطه‌ی زیر داده می‌شود:

$$I = -\frac{dn}{dt} = S n^b \exp\left(\frac{-E}{kT}\right) \quad (1)$$

و  $S$  فاکتور فرکانس می‌باشد.  $n_0$  تعداد الکترونی که در مرکز گیراندازی به دام می‌افتد،  $b$  مرتبه‌ی سیتیک،  $E$  انرژی فعال سازی،  $K$  ثابت بولتزمن و  $T$  دما بر حسب کلوین است. با حل معادله (1) برای یک دمای ثابت (افت همدما) مرتبه سیتیک

مطابق با معادله‌ی زیر مشاهده می‌شود:

100 دزیمتری است که بیشترین کاربرد را برای دزیمتری فردی در سطح بین المللی دارد. قله‌های ۵-۶ از منحنی درخشندگی TLD\_100 برای مشاهده‌ی مرتبه‌ی سیتیک و انرژی فعال سازی استفاده می‌شود. چنین پارامترهایی معمولاً با استفاده از روش‌های مختلفی بدست می‌آیند. TLD\_100 یکی از دزیمترهای ترمولومینسانس تجاری شناخته شده جهت استفاده در دزیمتری مخصوصاً دزیمتری شخصی است به همین دلیل تاکنون مطالعات زیادی در خصوص بررسی ساختار و چگونگی پاسخ آن نسبت به پرتوهای یونساز انجام گرفته است یکی از مهمترین مطالعات انجام شده روی آن محاسبه پارامترهای سیتیک LiF:Mg;Ti می‌باشد. آنجایی که پارامترهای ترمولومینسانس می‌توانند از میزان پرتوگیری نمونه‌ها تأثیر پذیرد محاسبه این پارامترها در دزهای مختلف سودمند خواهد بود. در این مقاله برای اولین بار پارامترها به روشهای مختلف در دزهای گوناگون تعیین شده است.

## روش کار

ابتدا بلورهای TLD\_100 در دمای ۴۰۰ °C به مدت یک ساعت در کوره گرم شد. پس از سردسازی نمونه‌ها آنها مجدداً در دمای ۱۰۰ °C به مدت ۲ ساعت در کوره گرم شدند. برای پرتو دهی نمونه‌ها از چشمی  $^{60}\text{Co}$  استفاده شد. پس از پرتو دهی برای Harshaw 4500 مدل TLD-reader قرائت نمونه‌ها از دستگاه استفاده شد. نمونه‌ها در بازه‌ی دمایی ۵۰ تا ۲۴۰ درجه سانتیگراد با آهنگ گرمایی  $1\text{ }^{\circ}\text{C}/\text{S}$  قرائت شدند.

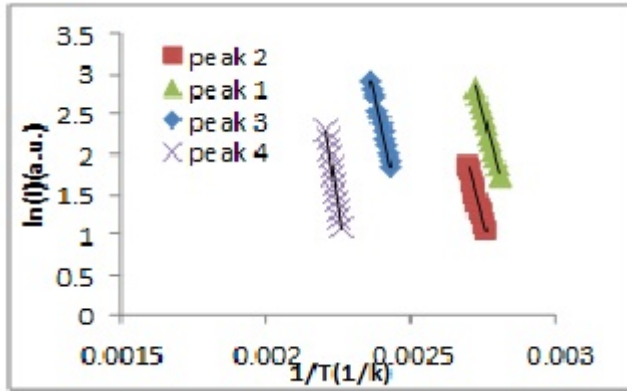
## نتایج

شدت فوتون‌های گسیل شده بر حسب دما به صورت منحنی تابش ترمولومینسانس در دزهای ۱ Gy و ۵ Gy ثبت می‌شود.

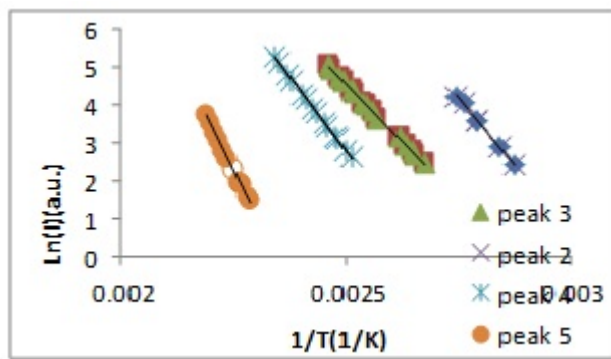
شکل (1-a) و (1-b)

(E) در دز  $Gy$  برای چهار قله به ترتیب  $1.14, 1.05, 1.06, 1.07$  می‌باشد.

هم‌چنین مقادیر انرژی فعال سازی (E) مطابق شکل (3-b) در دز  $Gy$  برای چهار قله به ترتیب  $1.18, 1.34, 1.06, 1.94$  محاسبه گردید.



شکل (3-a) : نمودار  $\ln I / I_0$  بر حسب  $1/T$  برای پیک‌های مختلف در دز  $Gy$ .



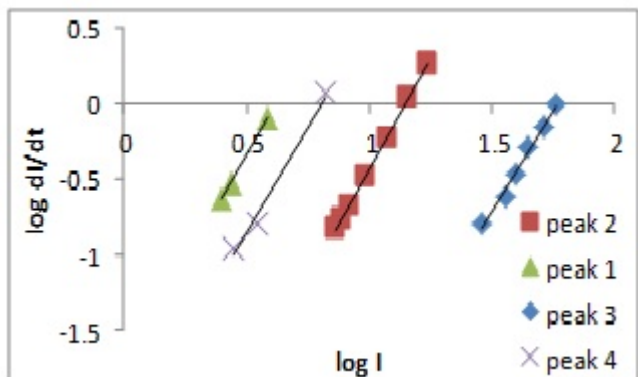
شکل (3-b) : نمودار  $\ln I / I_0$  بر حسب  $1/T$  برای پیک‌های مختلف در دز  $Gy$ .

در روش نسبت‌های گرمایی مختلف که اساس آن بر انتقال ماکریم پیک ( $T_m$ ) است با تغییر آهنگ گرمادهی ( $\beta$ ) نمودار  $\ln(T_m^2/\beta)$  در مقابل  $1/T_m$  که خط راستی با شیب  $E/K$  را می‌دهد [3-4] رسم شد (شکل 4-a) و مقادیر  $1.06, 1.07, 1.09, 1.17, 1.69$  برای انرژی فعال سازی (E) بدست آمد.

در دز  $Gy$  نیز طبق شکل (4-b) مقادیر انرژی فعال سازی به ترتیب برابر  $1.17, 1.07, 1.38, 1.06, 1.90$  بدست آمد.

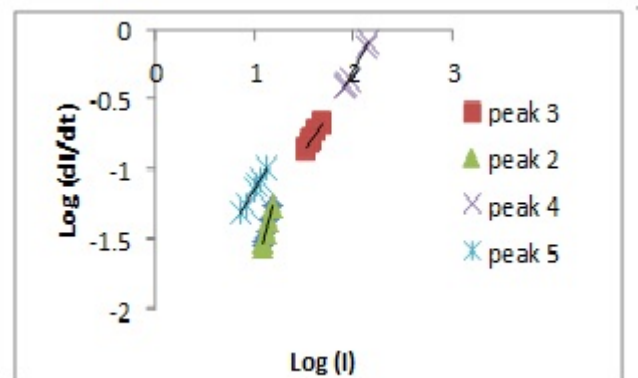
$$I^{(1/b)-1} = A + Bt \quad (2)$$

که  $A$  و  $B$  ثابت و  $t$  زمان واپاشی می‌باشد. نمودار  $\log(dI/dt)$  بر حسب  $I^{(1/b)-1}$  خط راستی با شیب  $(1/b)-2$  را می‌دهد. این نمودار در شکل (2-a) در دز  $Gy$  برای TLD\_100 رسم شد و مرتبه‌ی سیتیک (b) برای چهار پیک به ترتیب  $1.11, 1.2, 1.36$  بدست آمد.



شکل (2-a) : نمودار  $\log dI/dt$  بر حسب  $\log I$  برای پیک‌های مختلف در دز  $Gy$ .

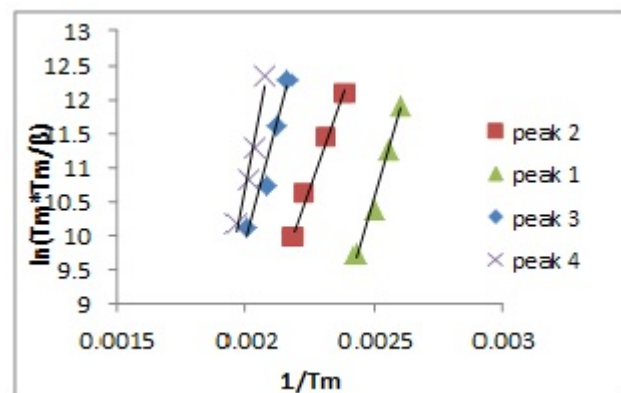
نمودار افت هم‌دما در دز  $Gy$  نیز رسم شد (شکل 2-b) و مرتبه‌ی سیتیک (b) برای چهار قله به ترتیب  $1.36, 1.66, 1.53, 1.33$  تعیین شد.



شکل (2-b) : نمودار  $\log dI/dt$  بر حسب  $\log I$  برای پیک‌های مختلف در دز  $Gy$ .

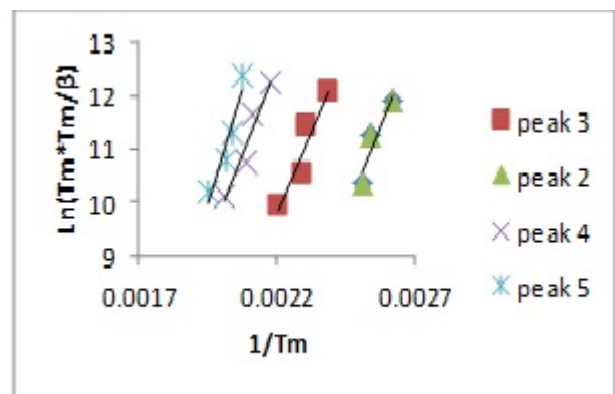
انرژی فعال سازی (E) نیز به دو روش صعود اولیه و نسبت‌های گرمایی مختلف محاسبه گردید. در روش صعود اولیه مطابق با معادله (1) نمودار  $\ln(I/I_0)$  نسبت به  $1/T$  خط راستی با شیب  $E/K$  را می‌دهد [3-4]. شکل (3-a).

دز	1 Gy				5 Gy			
قله	۲	۳	۴	۵	۲	۳	۴	۵
۱.۱۴	۱.۰۵	۱.۲۸	۱.۷۳		۱.۱۸	۱.۰۶	۱.۳۴	۱.۹۴
E	۱.۰۶	۰.۹	۱.۱۷	۱.۶۹	۱.۱۷	۱.۰۷	۱.۳۸	۱.۹
b	۱.۲	۱.۱۱	۱.۳۶	۱.۲	۱.۳۶	۱.۶۶	۱.۵۳	۱.۳

شکل (4-a) : نمودار  $\ln(T_m * T_m / \beta)$  بر حسب  $1/T_m$  در دز 1Gy

### مراجع

- [1] R.Chen, SWS.Mckeever, Theory of thermoluminescence and related phenomena , worldscience , 1997 .
- [2] D.R.S. Riberio, D.N.Souza , A.F.Maia, Radiat . Meas , 43 , 1132-1134 , 2008
- [3] M.Sohrabi , M.Jafarzadeh , M.Zahedifar , Analysis of kinetics and trapping parameters of LiF:Mg,Ti thermoluminescent dosimeters by general order model . 1998
- [4] V.pagonis , G. kitis , C. Furetto , Numerical and particle Exercises in thermoluminescence , 8-20,2006

شکل (4-b): نمودار  $\ln(T_m * T_m / \beta)$  بر حسب  $1/T_m$  در دز 5Gy

### بحث و نتیجه گیری:

پارامترهای سیستیک دزیمتر LiF:Mg,Ti در این تحقیق به روش های صعود اویله، نسبت های گرمایی مختلف و افت همدما در دزهای مختلف ۱و ۵Gy محاسبه گردید و نتایج محاسبه شده در جدول گزارش شد همان طور که مشاهده می شود میزان دز در پارامترهای سیستیک نقش دارد.